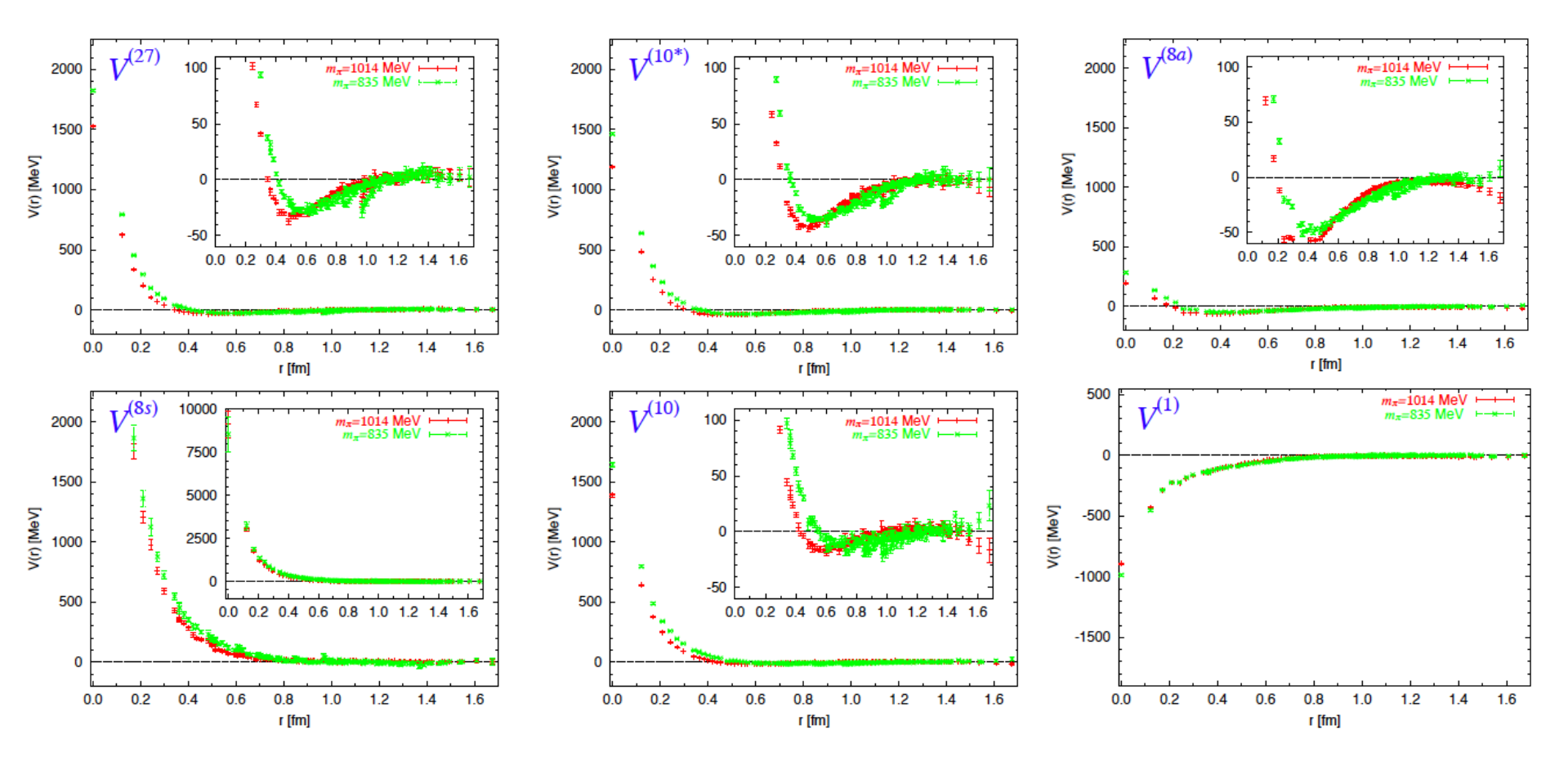


バリオンのための行列

橋本幸士 (理研仁科センター)

arXiv/1202.???? 青木慎也, 飯塚則裕, KH



[HAL-QCD collaboration, 1007.3559(hep-lat)]

Hダイバリオン? [R.L.Jaffe('77)]

バリオン多体系のための行列模型

[lizuka,Yi, KH 1003.4988]

$$S = \frac{\lambda N_c}{54\pi} M_{KK} \int dt \text{ tr} \left[(D_0 X^M)^2 - \frac{2}{3} M_{KK}^2 (X^4)^2 + D_0 \bar{w}_i^{\dot{\alpha}} D_0 w_{\dot{\alpha}i} - \frac{1}{6} M_{KK}^2 \bar{w}_i^{\dot{\alpha}} w_{\dot{\alpha}i} \right] - \frac{3^6 \pi^2}{4\lambda^2 M_{KK}^4} \left(\vec{D} \right)^2 + i \vec{D} \cdot \vec{\tau}_{\dot{\beta}}^{\dot{\alpha}} \bar{X}^{\dot{\beta}\alpha} X_{\alpha\dot{\alpha}} + i \vec{D} \cdot \vec{\tau}_{\dot{\beta}}^{\dot{\alpha}} \bar{w}_i^{\dot{\beta}} w_{\dot{\alpha}i} \right] + 4N_c \int dt \text{ tr} A_0$$

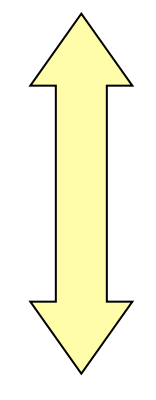
- ・バリオンA個の低エネルギー有効理論(ラージN。強結合QCD)
- 行列自由度の量子力学
- U(A) ゲージ対称性

field	index	U(A)	$SU(N_f)$	SU(2) imes SU(2)
$X^{M}(t)$	M = 1, 2, 3, 4	adj.	1	(2,2)
$w_{\dot{lpha}i}(t)$	$\dot{\alpha}=1,2;i=1,\cdots,N_f$	fund.	fund.	(1, 2)
$A_0(t)$		adj.	1	(1,1)
$D_s(t)$	s = 1, 2, 3	adj.	1	(1,3)

バリオン多体系のための行列模型

[lizuka, Yi, KH 1003.4988]

$$S = \frac{\lambda N_c}{54\pi} M_{KK} \int dt \text{ tr} \left[(D_0 X^M)^2 - \frac{2}{3} M_{KK}^2 (X^4)^2 + D_0 \bar{w}_i^{\dot{\alpha}} D_0 w_{\dot{\alpha}i} - \frac{1}{6} M_{KK}^2 \bar{w}_i^{\dot{\alpha}} w_{\dot{\alpha}i} \right]$$
$$- \frac{3^6 \pi^2}{4\lambda^2 M_{KK}^4} \left(\vec{D} \right)^2 + i \vec{D} \cdot \vec{\tau}_{\dot{\beta}}^{\dot{\alpha}} \bar{X}^{\dot{\beta}\alpha} X_{\alpha\dot{\alpha}} + i \vec{D} \cdot \vec{\tau}_{\dot{\beta}}^{\dot{\alpha}} \bar{w}_i^{\dot{\beta}} w_{\dot{\alpha}i} \right] + 4N_c \int dt \text{ tr} A_0$$



$$X^M$$
 $(M=1,2,3,4): A \times A$ エルミート行列 $X^{M=1,2,3}$ の固有値 $=$ A 個のバリオンの位置 パラメータは二つだけ: M_{KK} , $\lambda = N_c g_{\text{QCD}}^2 \sim \mathcal{O}(15)$

パラメータは二つだけ:
$$M_{\mathsf{KK}},\,\lambda=N_cg_{\mathsf{QCD}}^2\sim\mathcal{O}(15)$$

原子核は
量子力学
$$S \sim \int dt \left[\sum_{i=1}^{A} \frac{1}{2} m_N |\partial_t \vec{x}^{(i)}|^2 + \sum_{i \neq j} V(x^{(i)} - x^{(j)}, \cdots) + \cdots \right]$$

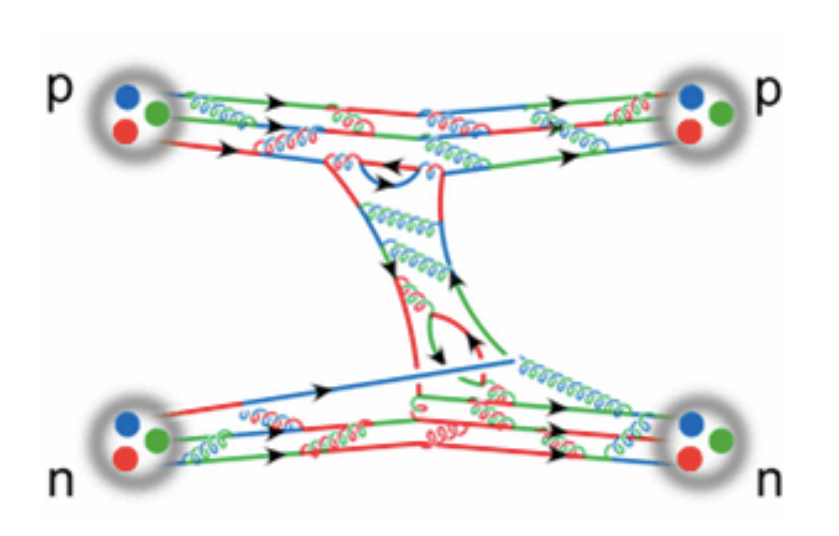
1. バリオン多体系のための行列 4ページ

2. バリオン数1:スペクトル 2ページ

3. バリオン数2:ポテンシャル 4ページ

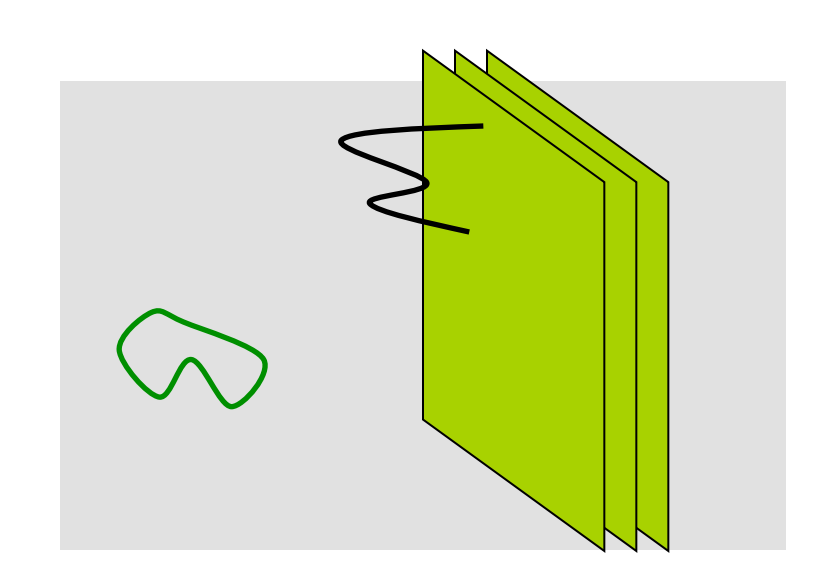
量子色力学を 曲がった時空上の弦理論に写す

ホログラフィー(=ゲージ重力対応 = AdS/CFT対応)





$$S = \int d^4x \left[-\frac{1}{4} \operatorname{tr} F_{\mu\nu}^2 + \bar{\psi}_i (iD_{\mu}\gamma^{\mu} - m_i)\psi_i \right]$$



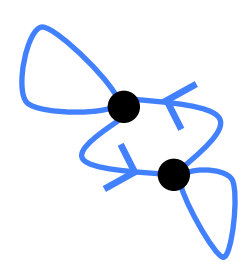
曲がった時空内の 超弦理論 弱結合、1+9次元

バリオン多体系は行列で記述される

ラージ N_c でのバリオンは重い

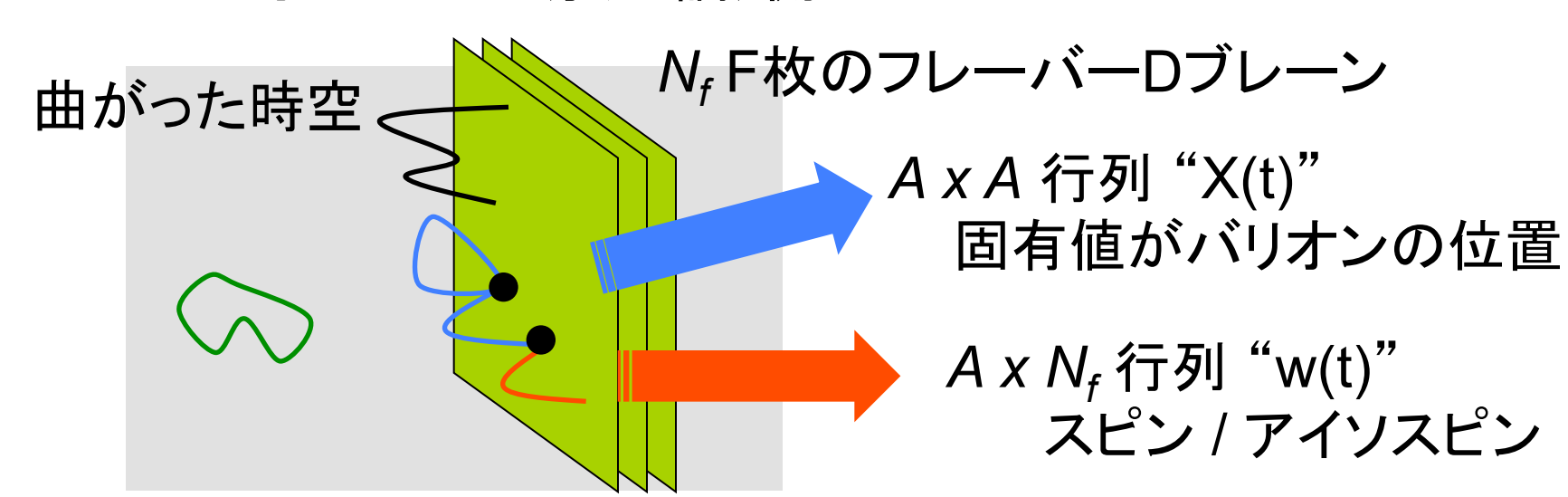


多重Dブレーンは 行列で記述



バリオン多体系は 行列で記述

AdS/CFT対応の重力(弦理論)側

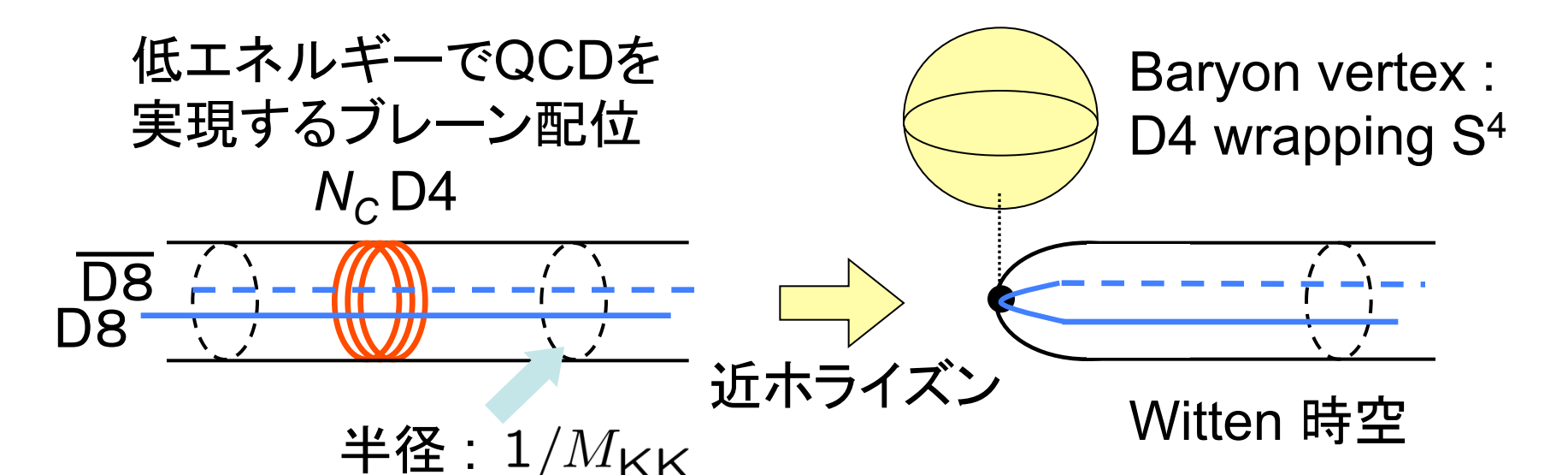


超弦理論における正確な導出

$$S = \frac{\lambda N_c}{54\pi} M_{KK} \int dt \text{ tr} \left[(D_0 X^M)^2 - \frac{2}{3} M_{KK}^2 (X^4)^2 + D_0 \bar{w}_i^{\dot{\alpha}} D_0 w_{\dot{\alpha}i} - \frac{1}{6} M_{KK}^2 \bar{w}_i^{\dot{\alpha}} w_{\dot{\alpha}i} \right] - \frac{3^6 \pi^2}{4\lambda^2 M_{KK}^4} \left(\vec{D} \right)^2 + i \vec{D} \cdot \vec{\tau}_{\dot{\beta}}^{\dot{\alpha}} \bar{X}^{\dot{\beta}\alpha} X_{\alpha\dot{\alpha}} + i \vec{D} \cdot \vec{\tau}_{\dot{\beta}}^{\dot{\alpha}} \bar{w}_i^{\dot{\beta}} w_{\dot{\alpha}i} \right] + 4N_c \int dt \text{ tr} A_0$$

[lizuka, Yi, KH 1003.4988]

Witten時空内に置かれたA枚のD4ブレーンの有効作用(フレーバーブレーンとして酒井杉本模型のD8を置く)



行列模型作用の導出(詳細)

$$S = \frac{\lambda N_c}{54\pi} M_{KK} \int dt \operatorname{tr} \left[(D_0 X^M)^2 - \frac{2}{3} M_{KK}^2 (X^4)^2 + D_0 \bar{w}_i^{\dot{\alpha}} D_0 w_{\dot{\alpha}i} - \frac{1}{6} M_{KK}^2 \bar{w}_i^{\dot{\alpha}} w_{\dot{\alpha}i} \right] - \frac{3^6 \pi^2}{4\lambda^2 M_{KK}^4} \left(\vec{D} \right)^2 + i \vec{D} \cdot \vec{\tau}_{\dot{\beta}}^{\dot{\alpha}} \bar{X}^{\dot{\beta}\alpha} X_{\alpha\dot{\alpha}} + i \vec{D} \cdot \vec{\tau}_{\dot{\beta}}^{\dot{\alpha}} \bar{w}_i^{\dot{\beta}} w_{\dot{\alpha}i} \right] - \frac{3}{4\lambda^2 M_{KK}^4} \left(\vec{D} \right)^2 + i \vec{D} \cdot \vec{\tau}_{\dot{\beta}}^{\dot{\alpha}} \bar{X}^{\dot{\beta}\alpha} X_{\alpha\dot{\alpha}} + i \vec{D} \cdot \vec{\tau}_{\dot{\beta}}^{\dot{\alpha}} \bar{w}_i^{\dot{\beta}} w_{\dot{\alpha}i} \right] - \frac{3}{4\lambda^2 M_{KK}^4} \left(\vec{D} \right)^2 + i \vec{D} \cdot \vec{\tau}_{\dot{\beta}}^{\dot{\alpha}} \bar{X}^{\dot{\beta}\alpha} X_{\alpha\dot{\alpha}} + i \vec{D} \cdot \vec{\tau}_{\dot{\beta}}^{\dot{\alpha}} \bar{w}_i^{\dot{\beta}} w_{\dot{\alpha}i} \right] - \frac{3}{4\lambda^2 M_{KK}^4} \left(\vec{D} \right)^2 + i \vec{D} \cdot \vec{\tau}_{\dot{\beta}}^{\dot{\alpha}} \bar{X}^{\dot{\beta}\alpha} X_{\alpha\dot{\alpha}} + i \vec{D} \cdot \vec{\tau}_{\dot{\beta}}^{\dot{\alpha}} \bar{w}_i^{\dot{\beta}} w_{\dot{\alpha}i} \right] - \frac{3}{4\lambda^2 M_{KK}^4} \left(\vec{D} \right)^2 + i \vec{D} \cdot \vec{\tau}_{\dot{\beta}}^{\dot{\alpha}} \bar{X}^{\dot{\beta}\alpha} X_{\alpha\dot{\alpha}} + i \vec{D} \cdot \vec{\tau}_{\dot{\beta}}^{\dot{\alpha}} \bar{w}_i^{\dot{\beta}} w_{\dot{\alpha}i} \right] - \frac{3}{4\lambda^2 M_{KK}^4} \left(\vec{D} \right)^2 + i \vec{D} \cdot \vec{\tau}_{\dot{\beta}}^{\dot{\alpha}} \bar{X}^{\dot{\beta}\alpha} X_{\alpha\dot{\alpha}} + i \vec{D} \cdot \vec{\tau}_{\dot{\beta}}^{\dot{\alpha}} \bar{w}_i^{\dot{\beta}} w_{\dot{\alpha}i} \right] - \frac{3}{4\lambda^2 M_{KK}^4} \left(\vec{D} \right)^2 + i \vec{D} \cdot \vec{\tau}_{\dot{\beta}}^{\dot{\alpha}} \bar{X}^{\dot{\beta}\alpha} X_{\alpha\dot{\alpha}} + i \vec{D} \cdot \vec{\tau}_{\dot{\beta}}^{\dot{\alpha}} \bar{w}_i^{\dot{\beta}} w_{\dot{\alpha}i} \right] - \frac{3}{4\lambda^2 M_{KK}^4} \left(\vec{D} \right)^2 + i \vec{D} \cdot \vec{\tau}_{\dot{\beta}}^{\dot{\alpha}} \bar{X}^{\dot{\beta}\alpha} X_{\alpha\dot{\alpha}} + i \vec{D} \cdot \vec{\tau}_{\dot{\beta}}^{\dot{\alpha}} \bar{w}_i^{\dot{\beta}} w_{\dot{\alpha}i} \right]$$

1) Witten時空の先端部分の幾何を背景とする non-Abelian DBI作用を、場(X)の二次まで展開

$$-T_{D4} \int d^5 \xi \ e^{-\phi} \sqrt{-\det(G_{MN} + 2\pi\alpha' F_{MN})}$$
$$= -\frac{T_{D4}}{g_s} \int dt \ \frac{8\pi^2}{3} R^3 U \sqrt{1 - (\partial_0 X^i)^2 - \frac{4}{9} \frac{R^3 U_{KK}}{U^4} (\partial_0 Z)^2}$$

- D4-D8弦の振動(w)とXの相互作用は、 ADHM行列模型と同じ。(A インスタントン)
- 3) S4を貫く背景RRフラックスからChern-Simons項が出る

$$\frac{1}{2\pi} \frac{1}{2 \cdot 3!} \int d^5 \xi \, \operatorname{tr} \, \epsilon^{\mu_1 \mu_2 \mu_3 \alpha \beta} C_{\mu_1 \mu_2 \mu_3} F_{\alpha \beta} = \frac{1}{2\pi} \int dt \, \operatorname{tr} A_0 \int F_4 = N_c \int dt \, \operatorname{tr} A_0$$

1. バリオン多体系のための行列 4ページ

2(バリオン数1:スペクトル) 2ページ

3. バリオン数2:ポテンシャル 4ページ

A=1: バリオン励起スペクトル

$$\begin{split} S &= \frac{\lambda N_c M_{\rm KK}}{54\pi} \int\! dt \, \left[(D_0 X^M)^2 - \frac{2}{3} M_{\rm KK}^2 (X^4)^2 + D_0 \bar{w}_i^{\dot{\alpha}} D_0 w_{\dot{\alpha}i} - \frac{1}{6} M_{\rm KK}^2 \bar{w}_i^{\dot{\alpha}} w_{\dot{\alpha}i} \right. \\ & \left. + \frac{3^6 \pi^2}{4 \lambda^2 M_{\rm KK}^4} \left(\vec{D} \right) + \vec{D} \cdot \vec{\tau}_{\ \dot{\beta}}^{\ \dot{\alpha}} \bar{w}_i^{\dot{\beta}} w_{\dot{\alpha}i} \right] \, + N_c \int\! dt \, {\rm tr}_k A_0 \end{split}$$

1) ラージλでADHM条件を解く(D-term条件)

$$\sum_{i=1}^{N_f} w_{\dot{\alpha}=1}^i (w_{\dot{\alpha}=2}^i)^* = \sum_{i=1}^{N_f} w_{\dot{\alpha}=2}^i (w_{\dot{\alpha}=1}^i)^* = 0 , \quad \sum_{i=1}^{N_f} |w_{\dot{\alpha}=1}^i|^2 = \sum_{i=1}^{N_f} |w_{\dot{\alpha}=2}^i|^2$$

解は、 N_f =2のとき、2x2ユニタリ行列 Uを用いて $w^i_{\dot{lpha}}=U
ho$

2) ハミルトニアンのポテンシャル項は

$$H = \frac{\lambda N_c M_{\mathrm{KK}}}{54\pi} \left[\left(\frac{27\pi}{\lambda M_{\mathrm{KK}}} \right)^2 \frac{1}{2\rho^2} + \frac{1}{3} M_{\mathrm{KK}}^2 \rho^2 + \frac{2}{3} M_{\mathrm{KK}}^2 (X^4)^2 \right]$$

$$\rho = 2^{-1/4} 3^{7/4} \sqrt{\pi} \lambda^{-1/2} M_{\mathrm{KK}}^{-1}$$
で極小化される

量子力学系 = SU(2)ユニタリ行列空間 + 調和振動子2つ

A=1: バリオン励起スペクトル

See [Hata, Sakai, Sugimoto, Yamato 0701280]

ユニタリ行列:
$$U = \begin{pmatrix} a_0 + ia_3 & ia_1 + a_2 \\ ia_1 - a_2 & a_0 - ia_3 \end{pmatrix}$$
 \rightarrow S³上の量子力学 $(a_0)^2 + (a_1)^2 + (a_2)^2 + (a_3)^2 = 1$ $\nabla^2_{S^3} \psi(U) = -l(l+2)\psi(U)$ $l/2 = I = J$

スペクトルは:

$$M = M_0 + \frac{1}{\sqrt{6}} \left[\sqrt{(2I+1)^2 + N_c^2} + 2n_\rho + 2n_{X^4} + 2 \right]$$

$$I = J = 1/2$$
 940+,1359+,1359-,1778+,1778-,...

 M_N, M_{Δ} 実験:940+,1440+,1535-,1710+,1655-,...

核子の波動関数は U そのもの $\frac{1}{\pi}(\tau^2 U)_{IJ} = \begin{pmatrix} |p\uparrow\rangle & |p\downarrow\rangle \\ |n\uparrow\rangle & |n\downarrow\rangle \end{pmatrix}_{IJ}$

1. バリオン多体系のための行列 4ページ

2. バリオン数1:スペクトル 2ページ

3.(バリオン数2:ポテンシャル) 4ページ

A=2: バリオン間ポテンシャル

ラージλでADHM条件を解く(D-term条件)

$$ec{ au}_{\dot{eta}}^{\dot{lpha}}\left(ar{X}^{\dot{eta}lpha}X_{lpha\dot{lpha}}+ar{w}^{\dot{eta}}_{i}w_{i\dot{lpha}}
ight)_{BA}=0 \qquad A=1,2$$
 バリオンが遠いとき: $X_{M}=\left(egin{array}{ccc} r_{M}/2 & 0 & \\ 0 & -r_{M}/2 & \end{array}
ight), & w^{A}=U^{(A)}
ho_{A}$ 解は、ラージ r_{M}^{3} の展開で $X_{M}=rac{1}{2}r_{M}^{a} au_{a} & w^{A}=U^{(A)} \begin{pmatrix}
ho_{A} & 0 & \\ 0 &
ho_{A} & \\ 0 & 0 & \\ \dots & \ddots & \\ 0 & 0 & \end{pmatrix} \begin{pmatrix} 1_{2\times2}+\epsilon^{(A)} \end{pmatrix}$ $r_{M}^{1}\sigma_{M}=rac{-
ho_{1}
ho_{2}}{|r^{3}|^{2}}r_{M}^{3}\sigma_{M}(P_{12}-P_{12}^{\dagger}),$ $r_{M}^{2}\sigma_{M}=rac{-i
ho_{1}
ho_{2}}{|r^{3}|^{2}}r_{M}^{3}\sigma_{M}(P_{12}+P_{12}^{\dagger}),$ $\epsilon^{(1)}=rac{-
ho_{2}^{2}}{4|r^{3}|^{2}}[P_{12},P_{12}^{\dagger}], \quad \epsilon^{(2)}=rac{
ho_{1}^{2}}{4|r^{3}|^{2}}[P_{12},P_{12}^{\dagger}]$ $P:$ 左上の2 x 2 を抜き出す射影

フレーバー に ユニバーサル な斥力芯

2)
$$A_0$$
 を積分
$$A_0 = A_0^0 \mathbf{1}_{2 \times 2} + A_0^a \tau^a$$

$$S_{A_0} = \frac{\lambda N_c M_{\text{KK}}}{54\pi} \int dt \left[2(A_0^a)^2 (r_M^b)^2 - 2(A_0^a r_M^b)^2 + \left((A_0^0)^2 + A_0^a)^2 \right) \left(|w^{A=1}|^2 + |w^{A=2}|^2 \right) + 2A_0^0 A_0^1 \left(w^{A=1} \bar{w}^{A=2} + w^{A=2} \bar{w}^{A=1} \right) - 2iA_0^0 A_0^2 \left(w^{A=1} \bar{w}^{A=2} - w^{A=2} \bar{w}^{A=1} \right) + 2A_0^0 A_0^3 \left(|w^{A=1}|^2 - |w^{A=2}|^2 \right) + \frac{108\pi}{\lambda M_{\text{KK}}} A_0^0 \right].$$

3) A_0 を積分した作用にD-termの解を代入し、 ラージ r_M^3 の展開初項をとってみると

$$V_{2-\text{body}} = \frac{27\pi N_c}{4\lambda M_{\text{KK}}} \frac{1}{|\vec{r}|^2} \left(\left| \text{tr} P_{12} \right|^2 + \left| \text{tr} \left[\hat{\vec{r}} \cdot \vec{\tau} P_{12} \right] \right|^2 \right)$$
$$P_{12} \equiv \mathbf{P} \left[(U^{(1)})^{\dagger} U^{(2)} \right]$$

1/r² 斥力芯 (フレーバー に ユニバーサル)

フレーバー シングレット の特殊性: 斥力芯の消失

得られたバリオン間ポテンシャルは状態に強く依存している。

フレーバーシングレットなコンビネーションの場合

$$\psi(U^{(1)}, U^{(2)}) = \operatorname{tr}[(U^{(1)})^{\dagger}U^{(2)}]$$

理由1)フレーバー回転: $U^{(1)} \mapsto GU^{(1)}$ $U^{(2)} \mapsto GU^{(2)}$ 理由2)核子の波動関数は U

この波動関数で、ポテンシャルの期待値をとる。

$$V_{2-\text{body}} = \frac{27\pi N_c}{4\lambda M_{KK}} \frac{1}{|\vec{r}|^2} \left(|\text{tr} P_{12}|^2 + |\text{tr} \left[\hat{\vec{r}} \cdot \vec{\tau} P_{12} \right] |^2 \right)$$

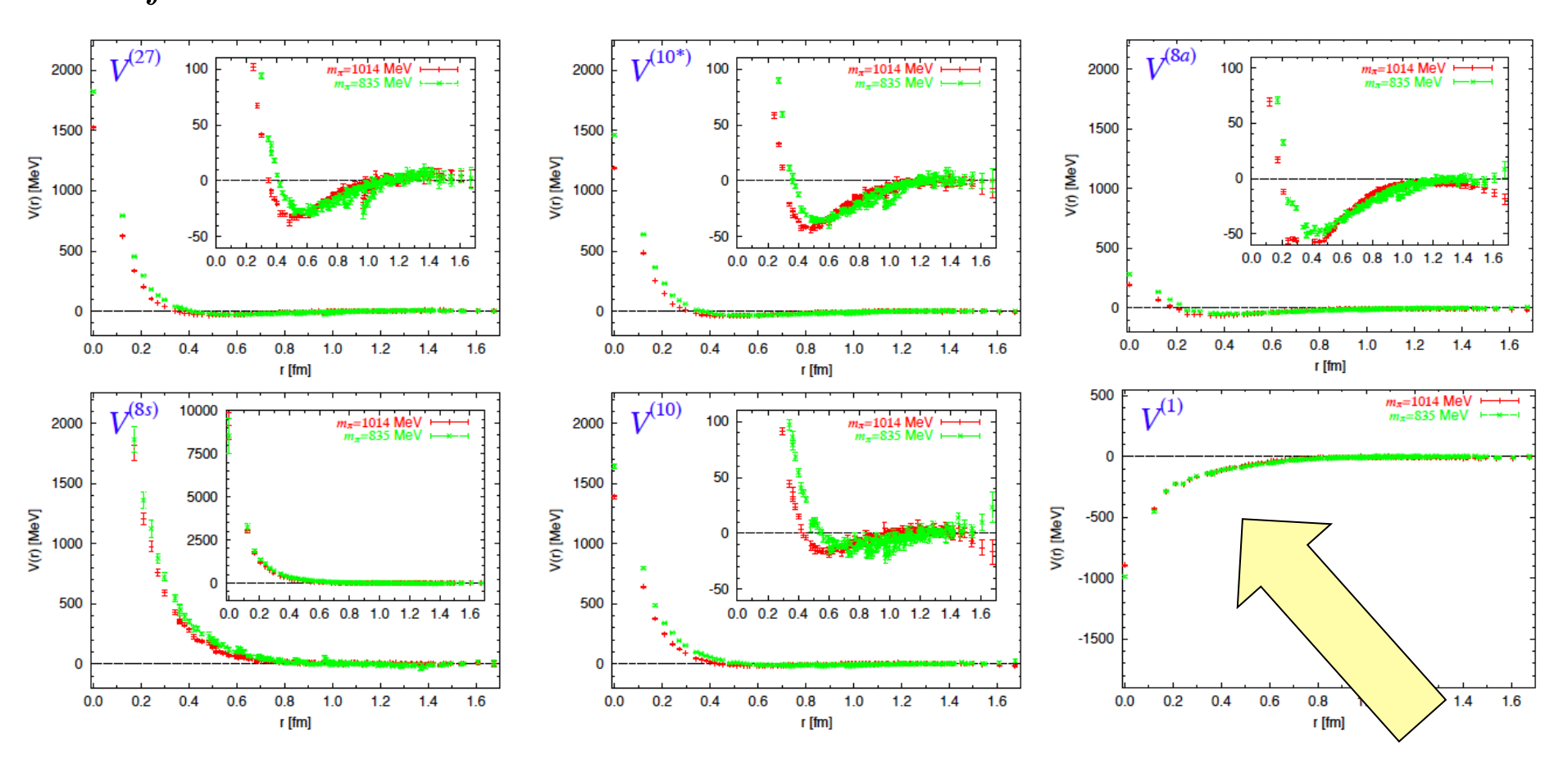
$$P_{12} \equiv \mathbf{P}\left[(U^{(1)})^{\dagger}U^{(2)}\right]$$
 P:左

 $P_{12} \equiv P[(U^{(1)})^{\dagger}U^{(2)}]$ P: 左上の2 x 2 を抜き出す射影

特に、 $N_f \rightarrow \infty$ で、 $1/N_f^2$ のように斥力芯が消える

議論: $N_f = N_c = 3$

 $N_f=N_c=3$ (ストレンジネスの入ったハイペロン系)は $N_f \to \infty, \quad N_c \to \infty$ とも近似できる?



1. バリオン多体系のための行列 4ページ

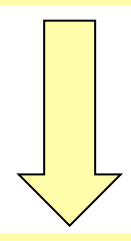
2. バリオン数1:スペクトル 2ページ

3. バリオン数2:ポテンシャル 4ページ

素粒子と原子核をつなぐ



クォーク・グルーオン



格子QCD



核子(ハドロン)



原子核物理



原子核

AdS/CFT (超弦理論)